

(25) 充填方式による合成柱の施工性実験

神戸大学 藤井 学
阪神高速道路公団 吉川 紀
○ 同上 山内 幸裕
(株)鴻池組 小野 紘一

1. はじめに

都市内高速道路は、用地上の制約から高架構造を採用することが多く、さらにその橋脚の大きさまでも制約を受けることがある。この場合、鋼製橋脚を採用することになるが、柱断面が小さく、梁の長い橋脚では活荷重によるたわみが大きくなり、橋梁全体がゆれやすい構造となる。このことが、床版や鋼桁の溶接部等の損傷の原因の1つと考えられている。この対策として、鋼製橋脚内にコンクリートを充填したいわゆる合成構造の採用が考えられる。本報告は充填方式による合成柱(以下合成柱)の採用に先立ち、約1/4縮尺模型で施工性実験を実施し、コンクリートのワーカビリティや鋼製橋脚のディテール等について検討したものである。

2. 供試体の施工

2.1 供試体の形状

供試体は、実際の鋼製橋脚を約1/4にモデル化し、内面には補剛材・ダイヤフラム、一部にはジベル筋を取り付けている(図-1)。外面は鋼製型枠を使用した。梁上フランジ、隅角部ダイヤフラムには、コンクリート打ち込み用としてマンホールを設けている。

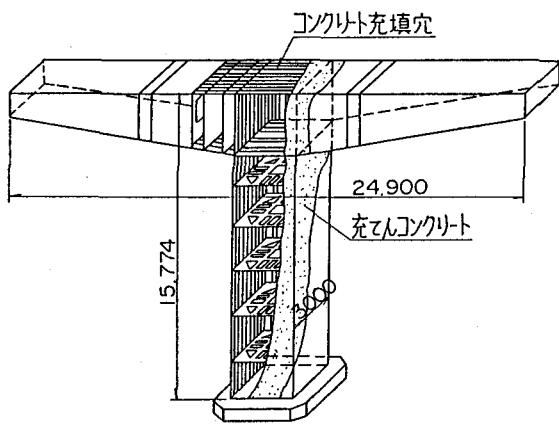
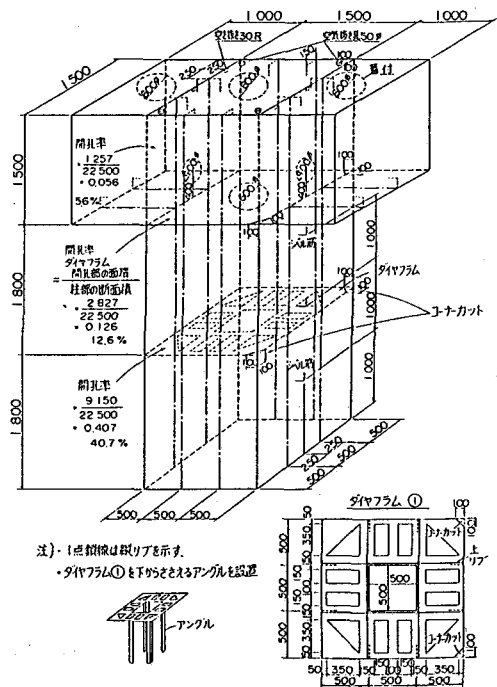


図-2 実橋脚の形状・寸法



- ・1点横模は取引を示す。
- ・ダイヤフラム①を下らさざえるアングルを設置

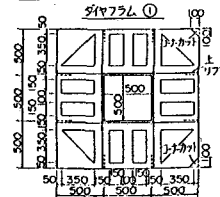


図-1 供試体形状・寸法

また柱ダイヤフラムはコンクリートの充填性向上のため開孔率を約40%と大きくした。なお同じ目的でダイヤフラムの隅部や梁上フランジに空気孔を設け、効果を確認した。

参考のため実橋脚の形状を図-2に示す。実橋脚は活荷重たわみの許容値($\ell/300$: 道示Ⅱ13.9)を越えるため、経済性を考慮して柱部及び梁隅角部にコンクリートを充填するものである。

2.2 充填したコンクリートの特性

使用したコンクリートの配合を表-1に示す。本配合は阪神高速道路公団のRC橋脚で用いられているものである。なお早期脱型のため早期ポルトランドセメントを用いた。

まだ固まらないコンクリートの状態では以下の試験を行った。

(1) 各ミキサー車でのスランプ測定 (表-2)

(JIS A 1101)

(2) 各ミキサー車での空気量測定 (表-2)

(JIS A 1128)

(3) 各ミキサー車でのコンクリート硬化速度の測定 (ASTM C 403-65T)

(4) 各ミキサー車でのブリージング量及びブリージング率の測定 (JIS A 1123)

(5) 鋼製橋脚コーナー部のコンクリートの水・骨材・セメントの割合 (JIS A 1112)

(3)の測定結果の1例を図-3に示す。各ミキサー車とも、始発終結時間及び硬化状況はほぼ同様であった。

表-3に(5)の結果を示す。各部のばらつきは認められないと思われる。

硬化コンクリートでも、各部のばらつき状況を調査するために、圧縮強度試験、配合推定を行った。それぞれの結果を表-4、表-5に示す。

供試体の内部は縦リブ、ダイヤフラムなどで狭くなってしまっており十分な締め固めが出来なかったにもかかわらず、コンクリートは極端に不均一となっていることが認められる。

2.3 コンクリート打設

打設コンクリートはバッチャープラントからトラックミキサ一車4台で、練上り時間を見直して運搬した。打設はコンクリートポンプにより

表-1 使用コンクリート配合

配合物質 最大寸法 (mm)	スランプ (cm)	空気量 (%)	水セメント 比 (%)	細骨 材 (%)	単位量 (kg/cm ³)		
					水	セメント	細骨材
40	8±2.0	4±1	55	39.3	285	730	163
					(3.14)	(256)	(263)
					0.77		

()内は比重を示す。

表-2 スランプ・空気量の測定結果

トラックシリ 番号	スランプ (cm) <small>標準条件 280 kg/m³水 40°C水温</small>	空気量 (%) <small>標準条件 280 kg/m³水 40°C水温</small>	
		初期	終結
1	10.0	14.0	5.0
2	9.5	15.0	4.1
3	8.5	12.0	5.1
4	8.5	16.0	5.0
計	8±2.0 cm	4±1	

* 試料採取は
コンクリート混ぜ
後約30分経過
後である。

表-3 配分推定結果

部位	配合	セメント	水	細骨材	粗骨材
コア部	1 (316 kg/m ³)	1	0.66	2.29	3.07
柱脚	2 (318 kg/m ³)	1	0.66	2.30	3.01
柱頭	3 (304 kg/m ³)	1	0.75	2.34	3.07
生コン 配合	1 (285 kg/m ³)	1	0.55	2.55	4.05

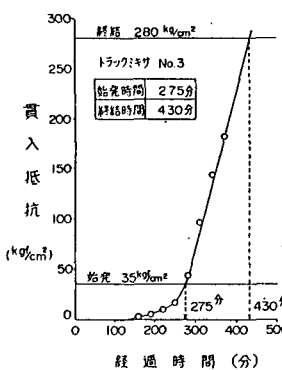


図-3 コンクリート
硬化速度測定結果

コア部試料の採取位置

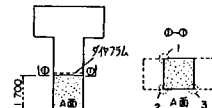


表-4 コンクリート圧縮強度

供試体 種類	養生条件	材令	圧縮強度 (kg/cm ²)		平均
			初期	終結	
コア ①	現場養生	型枠	266		
②		解体時 (11/13日)	251	260	
③		249		282	
④			231		
⑤			239	236	
P100 ×200	現場養生	解体時 (11/13日)	239		
テストピース	現場養生	28日	257	262	264
P150×300			314	305	310
			312		
	標準養生 (20°C, 水中)				

*コア採取位置

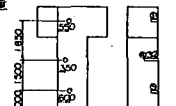
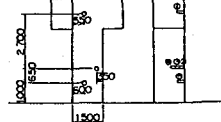


表-5 硬化コンクリートの
配合推定結果

部位	配合	セメント	水	細骨材	粗骨材
コア部	1 (259 kg/m ³)	1	0.77	2.41	3.49
柱脚	2 (277 kg/m ³)	1	0.68	4.42	
柱頭	3 (269 kg/m ³)	1	0.62	6.82	
柱頭 壁部	4 (294 kg/m ³)	1	0.63	6.02	
柱頭 壁部	5 (264 kg/m ³)	1	0.68	6.87	
生コン配合	1 (285 kg/m ³)	1	0.55	6.60	



4インチパイプを用いて圧送する方法で行った。打設にあたっては、パイプを柱上部のマンホールから内部に入れ、自由落下高さが大きくならないようにするとともに、
随時バイブレータで締め固めを行った。梁部コンクリートは、柱上部のマンホールから打設されたコンクリートが隅角部のダイヤフラムを通じて充填するようにした。比較のために、梁部片側のマンホールを閉じておいた。これは実際の橋脚では、梁上フランジは重要な構造部材であり、打設用に多くの切欠を設けることが困難であると判断されたためである。コンクリート打設量は約1.7m³となり、打設時間は約2時間である。打設順序模式図を図-4に示す。

打設状況の観察から以下のことがわかった。

- (1) ダイヤフラムの開口部からコンクリートの上昇がみられたことからコンクリートの充填性に対して有効であると思われる。
- (2) 隅角部マンホールから梁部へコンクリートが流れ込むことを期待したが、十分ではなかった。ただしバイブレータを作動することにより、若干上昇させることができた。(図-6、7)

2.4 鋼製型枠の解体調査

コンクリートが硬化後、鋼製型枠を撤去しコンクリートの充填性を調査した。調査結果を図-8、9に示す。図-8は梁天端の状況である。バイブレータ作動の有無にかかわらず、すべてコーナー部には空隙が生じていたが、上部鋼板のはがし具合からバイブレータを充分作動した梁天端

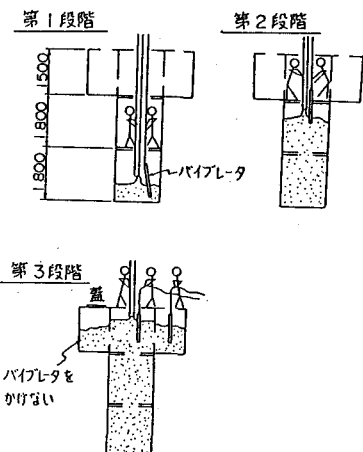


図-4 打設順序模式図

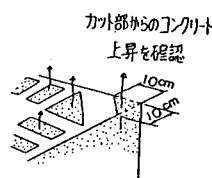


図-5 ダイヤフラムの隅のカット状況

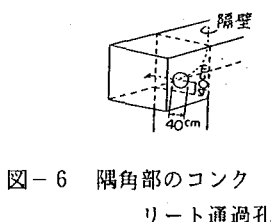


図-6 隅角部のコンクリート通過孔

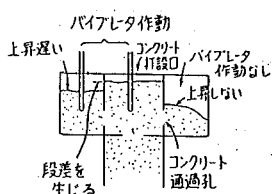


図-7 梁と柱部分のコンクリート面の段差状況

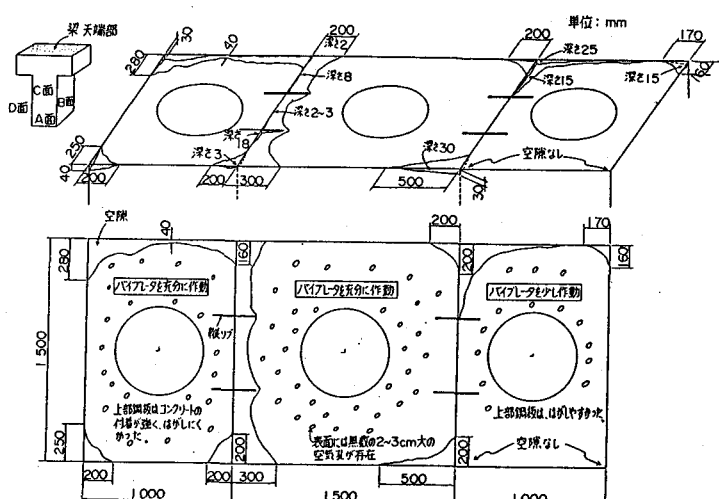


図-8 梁天端のコンクリート打設状況図

ではコンクリートと鋼板が良く付着していたようである。また、パイプレータを作動しなかった梁下面は、広範囲に豆板が出来ていた。柱の縦リブやジベル筋附近のコンクリートは良くまわっており、鋼板とコンクリートの付着性を良くしていると思われる。また、ダイヤフラム下面のコンクリートは全般に良くまわっており、豆板等の欠陥は発見されなかった。

3. コンクリート打設時の測定

コンクリート打設時に、コンクリートの内圧及び温度を測定した。内圧は土圧計及びひずみゲージで、温度は熱電対を用いてそれぞれ測定した。測定位置を図-10に示す。また、測定結果を図-11に示す。内圧は、打設面から約2.8m下までほぼ三角形分布となり、それ以後は一定となる傾向がみられる。内圧の最大値は約7.2t/m²程度で、その時の内圧分布を図-12に示す。内圧分布はACIの推定方法が実測値と良く傾向が似ていると思われる。

鋼製型枠に貼付したゲージによるひずみ分布と土圧計によるコンクリートの内圧分布を比較すると概ね同様の分布を示した。

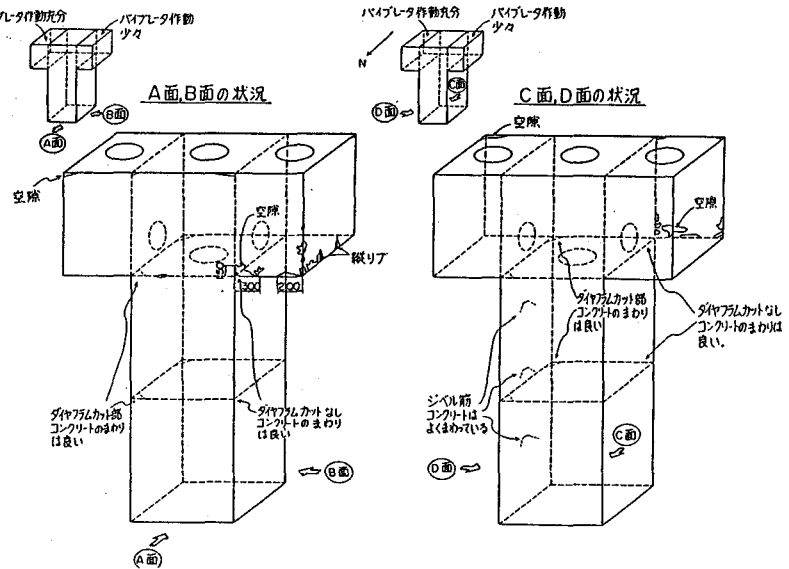
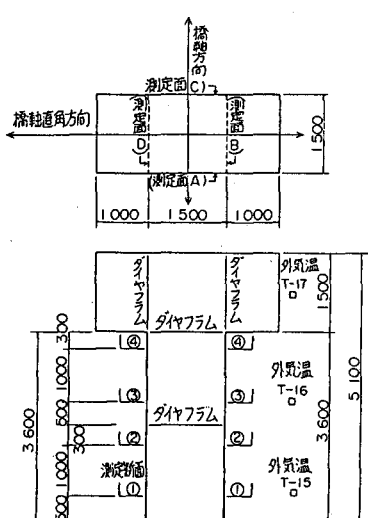


図-9 側面部のコンクリート打設状況図



凡例	
A-I-L1	内 容
↓ ↓ ↓	測 点
測定面 2 軸ゲージ 上 部	K 6
測定面 2 軸ゲージ 中 部	L 30 (60分)
測定面 熱電対	T 17

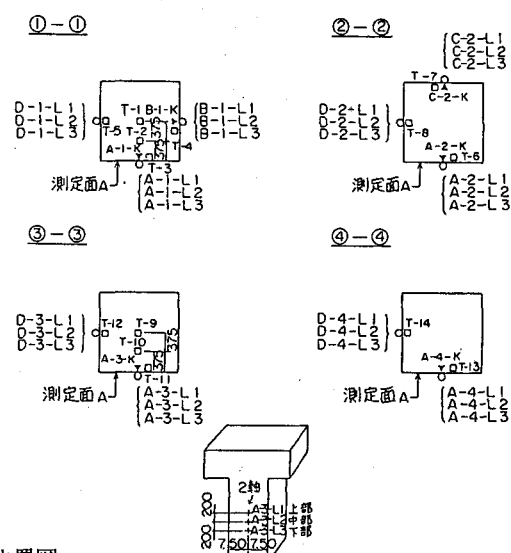


図-10 測定位置図

4. 施工法等の検討

4.1 コンクリート

コンクリートの打設状況およびコンクリートの充填状況から、柱部の施工については、バイブレータを用いて入念に施工すれば特に問題はない。梁上フランジ附近、梁下フランジ附近は施工法等今後改善する余地がある。具体的には、以下の通りである。

(1) 梁上フランジ附近

は、バイブレータ等で入念な施工を行ったとしても、空隙が残る可能性が大きいため、図-13または図-14に示す方法で強制的に空隙をなくす方法を用いる必要がある。

(2) 梁下フランジ附近

は、バイブレータによる充分な締固めが困難であるため、梁隅角部の施工にあたっては次の点に留意しなければならない。

① コンクリートの打設にあたっては、さらにワーカビリティを良くする必要がある。

② 鋼製橋脚隅角部付近は、縦リブ、ダイヤフラム等がコンクリートの水平方向の移動を阻害するため、コンクリートはすべて鉛直に打設するものとし、水平方向の移動は期待すべきではない。

実際の施工にあたっては、(1)では図-13に

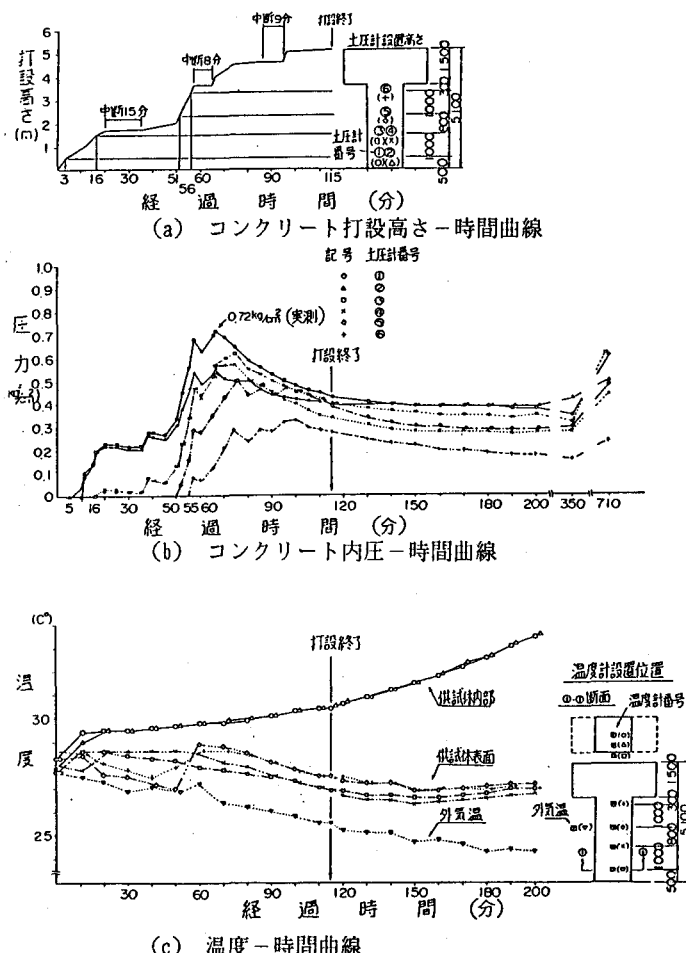


図-11 充てんコンクリートによる側圧、温度測定結果

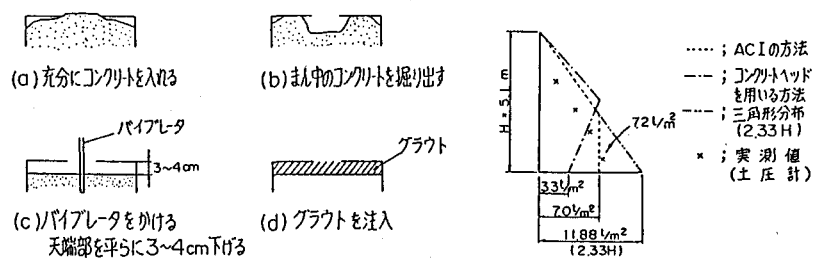


図-13 天端にスペースを作る模式図

図-12 コンクリート側圧分布

よる方法を採用し空隙をなくした。またコンクリートのスランプを8cmから10cmに大きくし、梁部の打設にあたっては、ダイヤフラムで囲まれた箱毎に梁上フランジに注入孔を設け打設した。

4.2 構造上の改善

今後、構造上改善すべき点は以下の通りである。

- (1) 図-15の通り、隅角部ダイヤフラムに追加孔を設け、締固め、打設の容易な構造とする。
- (2) 4-1での改善をさらに効果的にするために、図-16の通り出来る限り空気抜き孔を設ける。実際の設計にあたっては、出来る限り空気抜き孔を設けるとともに、本実験で充填性の向上を図るために採用したダイヤフラムの構造、付着を良くする効果があるジベル筋等を採用している。

5. おわりに

本実験の成果を基に図-2の構造物は、合成柱として設計・施工された。実橋脚での現場載荷試験の結果、たわみは合成前に比べ約50%となり、充分に合成されていることが確認できた。この構造物はたわみを小さくすることを目的としてコンクリートを充填したものであるが、さらに積極的に合成効果を利用すれば、橋脚断面寸法を小さくすることが可能となり、鋼材を減少し経済的な断面とできることができると考えられる。このためには、合成柱としての設計法を確立するとともに、鋼製橋脚内の諸部材の簡素化を図り、コンクリートの充填性・施工性の向上を図る必要がある。

また、今後、鋼製橋脚に充填されるコンクリートについて、①凍結に対する抵抗性(未硬化、硬化後とも)、②温度の影響、③充填性の管理法(非破壊試験等)等を検討する必要がある。いずれにせよ、数多くのこの種の実験を実施し、より良き施工法を提案しなければならない。

最後に、実橋脚においてもコンクリートの内圧等を測定しているが、これらのデータ及び本実験との対比は、とりまとめ中であり機会があれば別途報告することを考えている。

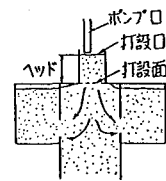


図-14 打設時の圧力をかける方法の模式図

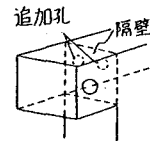


図-15 隔壁へのコンクリート通過用の孔状況

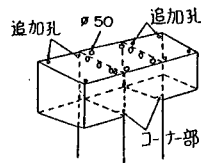


図-16 梁天端への空気抜き孔状況